

II-12 テニシオメータに基づく不飽和帶水分の挙動に関する解析

東京大学生産技術研究所 正員 虫明 功臣

" 正員 岡 泰道

" 正員 小池 雅洋

1.はじめに

不飽和帶水分は流域内の水循環を支配する重要な因子であり、都市化区域での雨水制御等の問題に対しては、その動態の把握が前提となる。筆者らも不飽和帶水分の挙動に着目し、雨水損失機構を評価する目的で、多摩ニュータウン域内の自然林地と既開発域に自記テニシオメータを設置し、観測を継続している。本稿では自然流域を対象とし、1980年7月に埋設し直した後に得られたデータに基づいて、テニシオメータの利用可能性の検討を行なう意味で、降雨期間中の雨量、損失量についての収支解析を試みた。

2. テニシオメータ記録の取り扱い方法

- (1) テニシオメータは、5, 15, 25, 35, 50, 65, 80, 100, 120, 140, 160, 180, 200, 300 cm の 14 深度であるが、データの精度を考え、5, 200, 300 cm を除く 11 深度のものを対象とした。
- (2) 時間単位は 1 時間とし、吸引圧は $\text{cm H}_2\text{O}$ 単位で表わした。
- (3) 吸引圧から体積含水率 θ への変換は、現地土壤のサンプル実験で決定された $\theta - \text{水分曲線}$ によった。

- (4) 35 cm 以浅の $\theta - \theta$ 曲線にはヒステリシスがみられるが、今回は簡単のため、脱水・吸水の平均値を用いた。
- (5) 特定深度のものに欠測がある場合は、その上下の深度での記録から補間するか、あるいはそれが不可能な場合はその上下の深度の記録で代表させた。

3. 降雨期間中の不飽和帶内の吸引圧変化

本稿で対象としたのは表1の7降雨であり、そのうち No. 3 と No. 5 についての解析例を図1に示す。いずれの記録についても、ほぼ浅い深度のものから順に吸引圧の低下が起こり、深い程低下の割合も大きいことが図からわかる。反応の遅れ時間を見ると、全般的に、15~65 cm は降雨の中心に対応して速やかに反応するのに対し、80~140 mm は概ね数時間以上遅れる場合が多い。さらに、160 cm 以深になると、1~2 日の遅れ時間をもつが、あるいはかなり大きい降雨に対してもほとんど反応がみられないかのどちらかである。そういう意味では、No. 5 の結果はかなり特殊な例である。

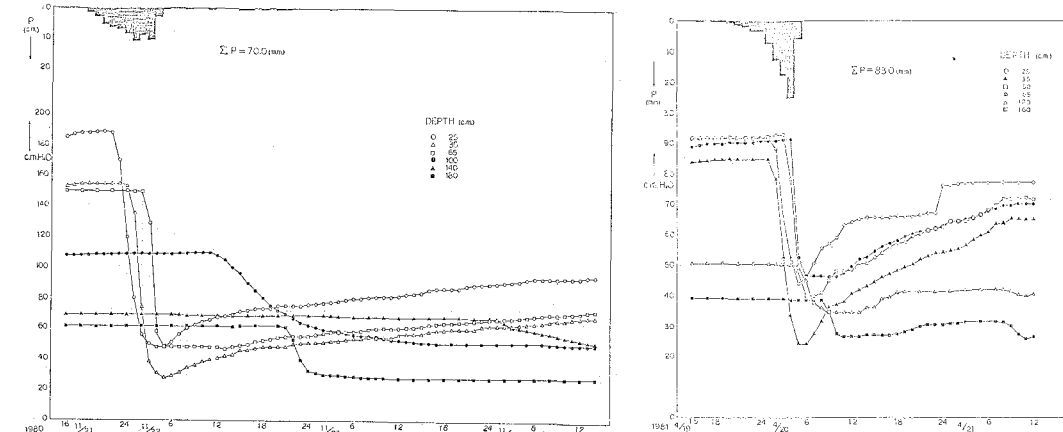


図1 不飽和帶内の吸引圧の変化

4. 一雨毎の浸入量の評価

降雨損失は大きく二つに分けられ、一つは樹冠遮断、溝地貯留のような地表での損失であり、もう一つは地中への浸入である。ここでは、前節の結果を踏まえ、一雨毎の地点損失量と評価する上で以下の仮定を設けた。

(1) 浸透域では表面流出は起こらない。これは過去の解析・観測から裏付けられている。

(2) テニシオメータ設置場所は流域内の尾根付近にあることから、鉛直浸透が支配的である。

(3) 200 cm 以深の水分量の変動は極めて小さく、無視できる。

4.1 地表面での損失量

本流域での樹冠遮断工は、これまでの解析により、降雨の 23% に相当すると推定されているのでこれに従う。ただし、数十 mm 以上の降雨についてはデータ数が少ないので必ずしも明確ではなく、また一律 23% が樹冠に遮断されるとは考えにくい。この点は、今後の課題としている。

4.2 不飽和帯への浸入量

不飽和帯の水分量の変化 $\Delta\theta(t)$ は次式によって求められる。

$$\Delta\theta(t) = \sum_{i=1}^n \alpha(i) \{ \theta(i, t) - \theta(i, t-1) \} \quad \text{--- ①}$$

ここに、 $\theta(i, t)$: 時刻 t における i 番目の深度の体積含水率

$\alpha(i)$: i 番目のテニシオメータの代表土柱 (mm)

の式を用いて求めた、各深度の体積含水率、及び 190 cm までの不飽和帯水分量の変化を図 2 に示す。しかし、15 cm 以浅の地表付近は、腐飼土層で、かなりリバースになってしまい、テニシオメータ記録が必ずしも水分量の変動を示しているとはいえない。従って、ここでは表層の 15 cm を代表にとり、初期含水量と $Pf 2.0$ の含水量との差を表層 (20 cm 以浅) の貯留量 I_L とした。不飽和帯への雨水の浸入量 $I = I_L + I_R$ は $\Delta\theta$ の累加曲線の最大値として求められる。この時刻 T は表層の $\Delta\theta$ が正から負に移行する時刻とほぼ一致し、また深部のテニシオメータの反応遅れ時間内にある。

表 2 計算結果

	ΣP	ΣP_f	I_L	I_u	I_R	I_{total}
1	72.0	71.5	164	97	405	666
2	54.5	54.5	125	115	424	664
3	70.0	66.0	152	76	559	787
4	32.5	32.5	75	99	272	446
5	83.0	83.0	191	0.3	522	743
6	49.0	48.5	112	60	416	588
7	187.0	187.0	430	125	648	1203

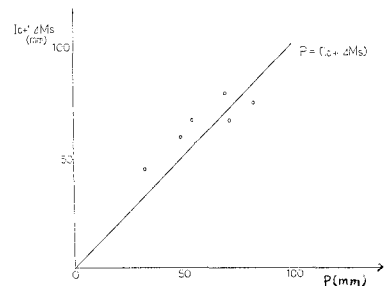


図 3 雨量と損失量との関係

以上のようにして求めた結果を表 2 に、また $(I_L + I_R)$ と P との関係を図 3 に示す。サンプル数が少ないため、現段階では即断はできないが、ヒステリシスの影響を無視したこと等、多くの仮定を設けたにもかかわらず、収支は比較的合っていると考えられる。

《謝辞》この研究を進めるに当り、武藏工業大学の砂河、猪川、深沢、藤波、三重野の各氏から協力を得た。

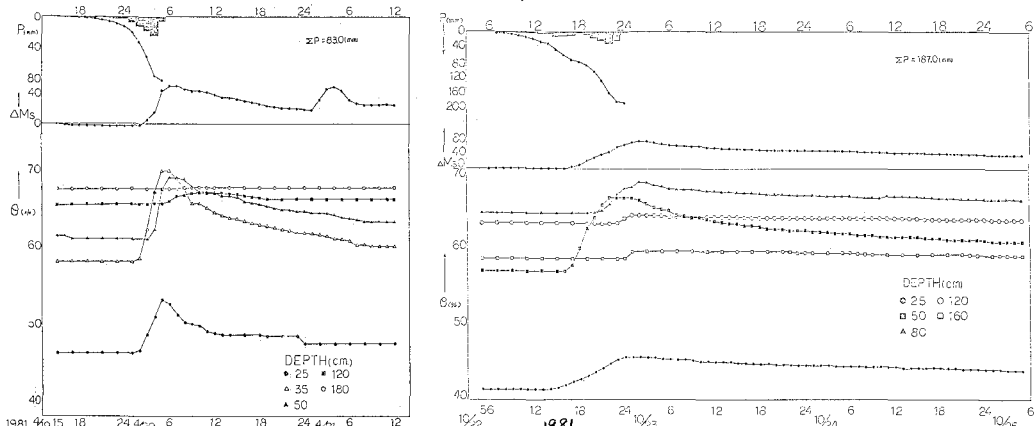


図 2 不飽和帯の水分量と各深度の体積含水率の変化